

1/4
N. Usiak et al.
BSI-513US

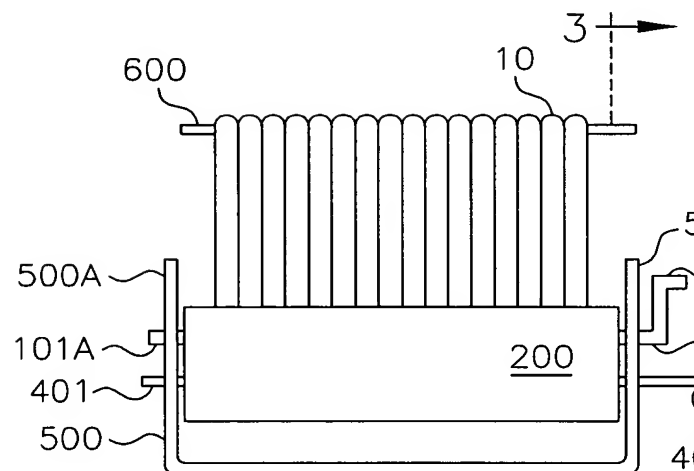


FIG. 1

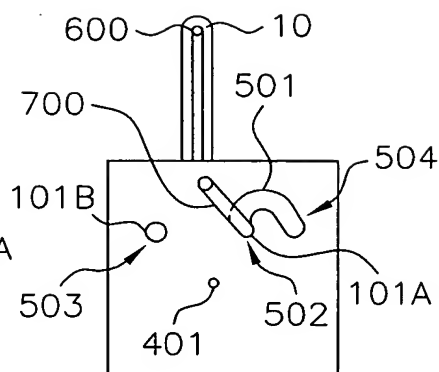


FIG. 2

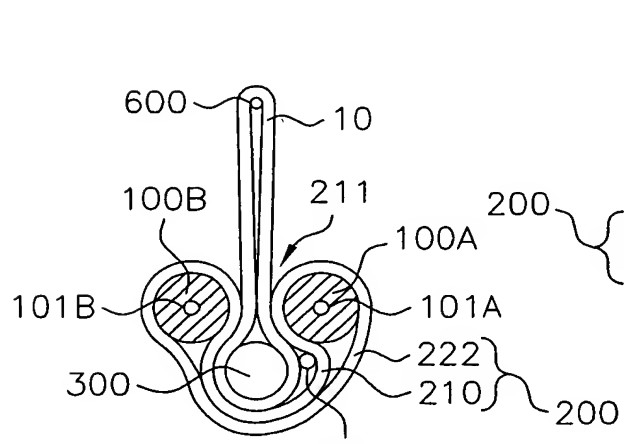


FIG. 3A

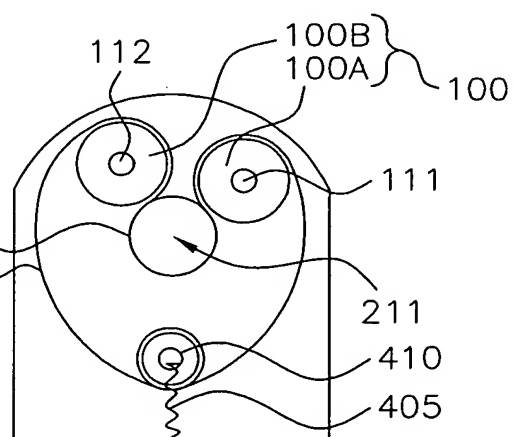


FIG. 3B

2/4
N. Usiak et al.
BSI-513US

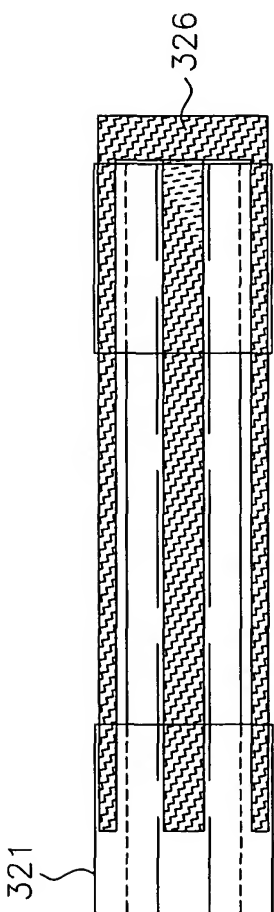


FIG. 4

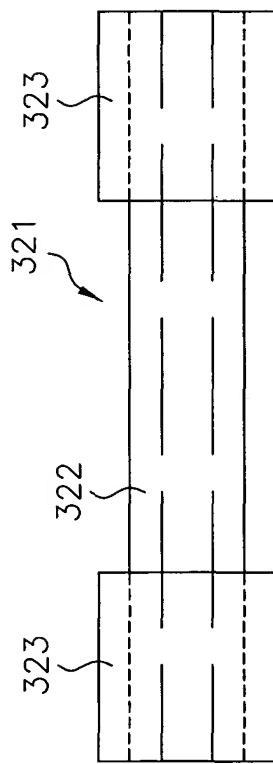


FIG. 5

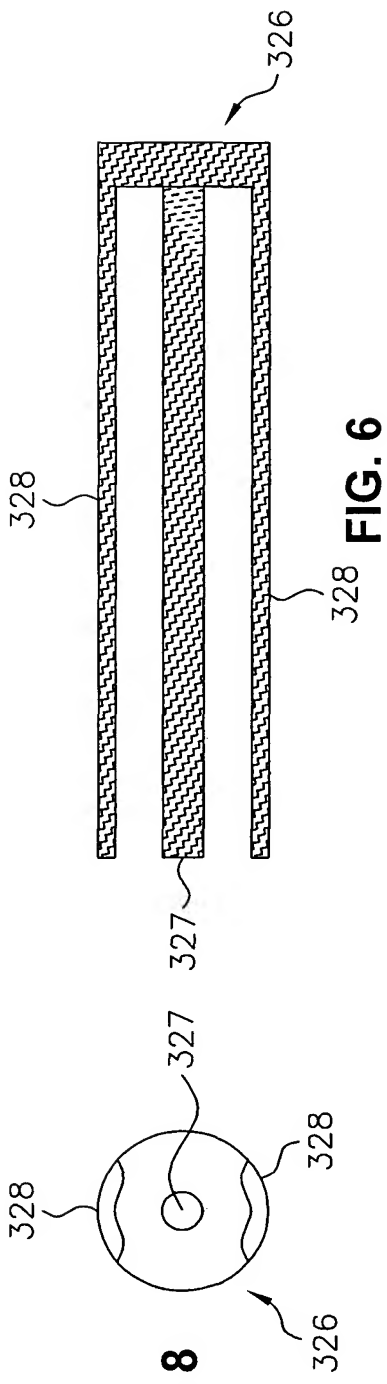


FIG. 6

FIG. 7

FIG. 8

3/4
N. Usiak et al.
BSI-513US

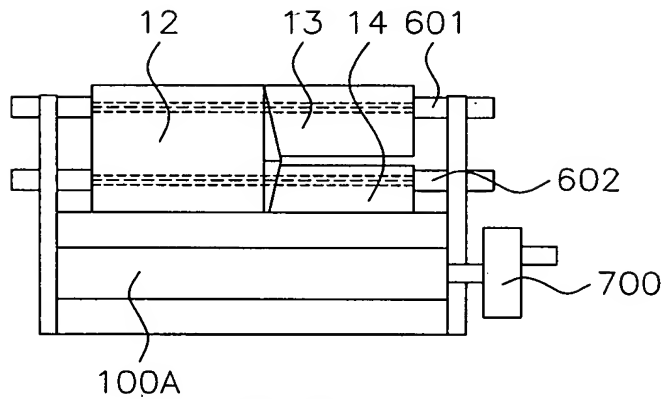


FIG. 9

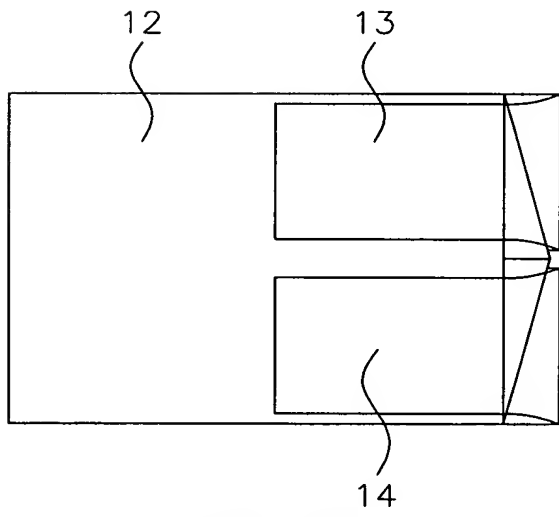


FIG. 10

4/4
N. Usiak et al.
BSI-513US

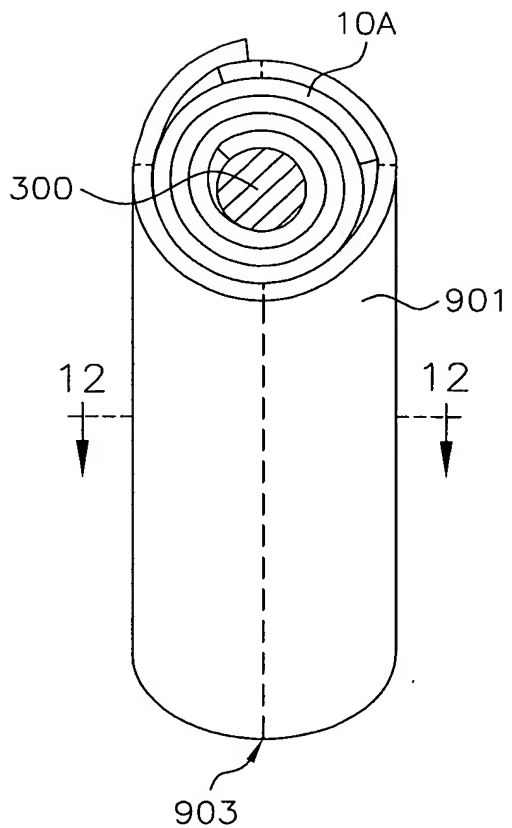


FIG. 11

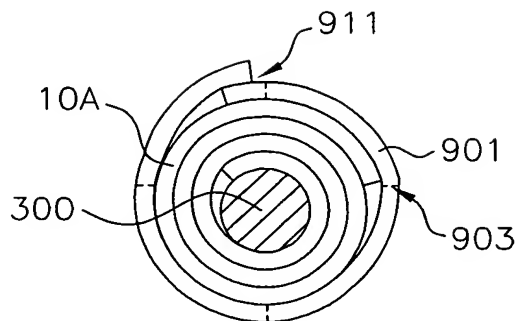


FIG. 12

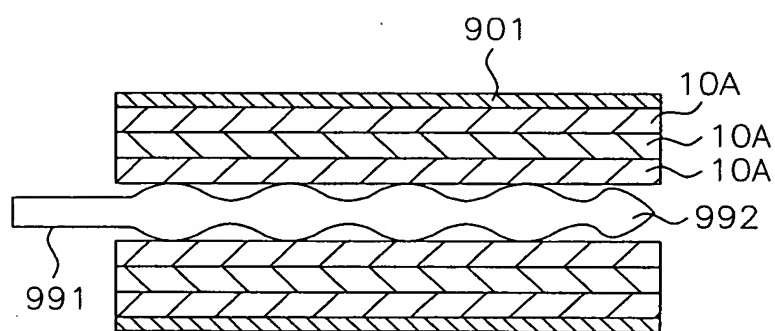


FIG. 13